# МЕТАЛЛУРГИЯ ВА МАВОДШИНОСЙ - МЕТАЛЛУРГИЯ И MATEPUAЛOBEJEHUE - METALLURGY AND MATERIALS SCIENCE

УДК 669.45.018.8.24/884

## КИНЕТИКА ОКИСЛЕНИЯ АЛЮМИНИЕВОГО ПРОВОДНИКОВОГО СПЛАВА AITi0.1 С КАЛИЕМ В ТВЕРДОМ СОСТОЯНИИ

<sup>1</sup>Ф.Ш. Зокиров, <sup>1</sup>И.Н. Ганиев, <sup>2</sup>Г.М. Рахматуллоева, <sup>1</sup>М.М. Махмадизода

<sup>1</sup>Таджикский технический университет имени академика М.С. Осими,

<sup>2</sup>ГУ «Центр по исследованию инновационных технологий

#### НАН Таджикистана»

В настоящее время во многих областях техники растет интерес к жаропрочным материалам на основе алюминиевых сплавов, которые применяются в электротехнике, а также при изготовлении жаропрочных проводов для высоковольтных линий электропередачи. В работе представлены результаты термогравиметрического исследования взаимодействия алюминиевого проводникового сплава AlTi0.1, содержащего калий, с кислородом воздуха в интервале 723-823 К в твердом состоянии. Определены кинетические параметры процесса окисления. Показано, что добавки калия до 0.5 мас.% увеличивают скорость окисления алюминиевого проводникового сплава AlTi0.1, что сопровождается снижением кажущейся энергии активации процесса окисления со 140.00 до 117.11 кДж/моль. Процесс окисления сплавов подчиняется гиперболическому уравнению.

*Ключевые слова:* алюминиевый сплав AITi0.1, калий, термогравиметрический метод, кинетика окисления, истинная скорость окисления, энергия активации окисления.

### КИНЕТИКАИ ОКСИДШАВИИ ХЎЛАИ НОҚИЛИ АЛЮМИНИЙИ AITI0.1 БО КАЛИЙ ДАР ХОЛАТИ САХТ

#### Ф.Ш. Зокиров, И.Н. Ғаниев, Г.М. Рахматуллоева, М.М. Махмадизода

Дар айни замон, дар бисёр сохахои техника таваччух ба масолехи ба гармй тобовар дар асоси хулахои алюминий зиёд шудааст. Онхо дар электротехника барои истехсоли нокилхои ба гармй тобовар ва хатхои баландшиддаги электр истифода мебаранд. Дар макола натичахои омузиши термогравиметрии таъсири мутакобилаи хулаи нокили алюминийи AlTi0.1 дорои калий, дар атмосфера хаво дар худуди 723-823 К, дар холати сахт оварда шудааст. Параметрхои кинетикии раванди оксидшавй муайян карда шуданд. Маълум шуд, ки иловаи калий то 0,5 мас.% суръати оксидшавии хулаи нокили алюминийи AlTi0.1-ро зиёд мекунад, ки ин бо камшавии энергияи намоёни фаъолшавии раванди оксидшави аз 140.00 то 117.11 кЧ/мол мувофик мебошад. Раванди оксидшавии хулахо ба муодилаи гиперболй итоат мекунад.

*Калидвожахо:* хӯлаи алюминий AlTi0.1, калий, усули термогравиметрй, кинетикаи оксидшавй, суръати оксидшавии ҳақиқй, энергияи фаъолси оксидшавй.

# KINETICS OF OXIDATION OF ALUMINUM CONDUCTOR ALLOY AITi0.1 WITH POTASSIUM IN THE SOLID STATE

#### F.Sh. Zokirov, I.N. Ganiev, G.M. Rakhmatulloeva, M.M. Mahmadizoda

Currently, in many fields of technology, there is a growing interest in heat-resistant materials based on aluminum alloys, which are used in electrical engineering, as well as in the manufacture of heat-resistant wires for high-voltage power lines. The paper presents the results of a thermogravimetric study of the interaction of an aluminum conductor alloy AlTi0.1 containing potassium with atmospheric oxygen in the range of 723-823 K in the solid state. Kinetic parameters of the oxidation process are determined. It has been shown that potassium supplements up to 0.5 wt.% increase the rate of oxidation of the aluminum conductor alloy AlTi0.1, which is accompanied by a decrease in the apparent activation energy of the oxidation process from 140.00 to 117.11 kJ/mol. The oxidation process of alloys obeys a hyperbolic equation.

**Keywords:** aluminum alloy AlTi0.1, potassium, thermogravimetric method, oxidation kinetics, true oxidation rate, oxidation activation energy.

#### Введение

В последние годы значительно возросло использование алюминиевых сплавов в электротехнических целях вместо меди, что позволило существенно снизить вес кабельной продукции [1].

Хорошо известно, что достижение прочности в алюминиевых сплавах путем образования твердых растворов крайне нежелательно с точки зрения повышения электропроводности. Однако противоречивый характер прочности и электропроводности в этих материалах побуждает искать баланс между этими свойствами [2-3].

Алюминий и его сплавы находят очень широкое применение в различных областях, таких как авиастроение, космонавтика, транспорт, электротехника, строительство, упаковка, электроника, кухонная утварь и т. д., главным образом благодаря своему малому весу, коррозионной стойкости и хорошим электрическим и механическим свойствам. Высокое соотношение прочности к массе (прочность/вес) алюминиевых сплавов превосходит таковое практически все другие конструкционные материалы. Алюминий относится к лёгким металлам, и его прочность может быть улучшена путём легирования и термической обработки [4-5]. В настоящее время исследователи и учёные во всём мире сосредоточили своё внимание на улучшении как механических, так и электрических свойств алюминия для его использования в широком спектре приложений.

#### Политехнический вестник. Серия: Инженерные исследования. № 3 (71) 2025

В последние два десятилетия в связи с ростом спроса со стороны линий электропередачи медь заменяется алюминием благодаря её малому весу и относительно низкой стоимости [6]. Кроме того, среди конструкционных проводниковых материалов алюминий обладает очень хорошей электропроводностью благодаря низкому удельному весу (практически второй после меди). Замена меди алюминием для передачи электроэнергии, например, на проводах ACSR (алюминиевые стальные проводники), силовых кабелях и т.д., растёт во всём мире. Более того, замена меди алюминием происходит и в странах, обладающих достаточными ресурсами меди, поскольку алюминий демонстрирует существенные экономические преимущества в качестве серьёзного конкурента меди.

Электропроводность алюминия достаточно высока благодаря огромному количеству свободных электронов, вращающихся вокруг его кристаллической решетки [7]. Однако электропроводность технически чистого алюминия выше, чем у всех алюминиевых материалов и сплавов. Его применение ограничено из-за очень низкой механической прочности и вязкости [8-10].

Спрос на высокопрочные и электропроводящие алюминиевые сплавы для линий электропередачи (например, для производства проводов и кабелей) возрос. На практике, добавляя легирующие элементы к чистому алюминию, можно значительно повысить его прочность. Однако, с другой стороны, происходит значительное снижение электропроводности из-за растворенных атомов и примесей, образующихся при замещении легирующих элементов. Другим процессом, влияющим на электропроводность алюминия, является термическая обработка, поскольку элементы в твердом растворе обладают более высоким сопротивлением, чем нерастворенные элементы. Поэтому крайне важно подобрать прочность чистого алюминия таким образом, чтобы снижение его электропроводности оставалось приемлемым и соответствовало выбранному применению.

Поскольку электропроводность и механическая прочность являются важнейшими свойствами для производства проводниковых материалов, разработка алюминиевого проводника с подходящим сочетанием приемлемой прочности и высокой электропроводности является основным условием использования алюминия в кабелях электропередачи. Электропроводность зависит от микроструктуры металлического материала, поскольку она очень чувствительна к нарушениям рассеяния электронов, вызванным любыми дефектами или растворенными веществами в кристаллической структуре. Для большинства алюминиевых сплавов, упрочнённых старением, было обнаружено, что зависимость между электропроводностью, твёрдостью и пределом прочности на разрыв имеет «С-образную» форму [11]. Изначально твёрдость алюминиевых сплавов, упрочняемых старением, снижается по мере увеличения электропроводности из-за ограниченной растворимости в твёрдом растворе, что влияет на скорость выделения и приводит к образованию множества различных фаз. Противоположная тенденция наблюдается при высоких температурах, поскольку низкая электропроводность связана с более высокими значениями твёрдости (что может быть связано с обратным растворением выделений в основных элементах матрицы) [11]. Соответственно, в научно-исследовательской деятельности основное внимание уделяется разработке высокопрочных алюминиевых сплавов с высокими электропроводными свойствами с помощью новых методов обработки и изготовления [12]. Улучшение свойств может быть достигнуто многими методами, такими как холодная обработка, термическая обработка и добавление легирующих элементов в алюминиевую матрицу. Добавление легирующих элементов, включая микроэлементы, основные элементы и микроструктурные примеси, позволяет контролировать требуемую прочность и электропроводность сплава.

Такие легирующие элементы, как медь, магний и серебро, обеспечивают превосходные механические свойства сплава при более высоких температурах. Кроме того, сопротивление ползучести улучшается благодаря равномерному и мелкодисперсному распределению выделений, образующихся по границам [13-15].

Высокое сродство алюминия к кислороду приводит к быстрому образованию защитного, но высокостойкого оксида на его поверхности [16]. Хотя оксид важен для защиты алюминия от коррозии, он ухудшает внешнюю поверхность проводника, ухудшает его проводимость и нежелателен для электрических применений. При подключении окисленного проводника без предварительной обработки повышенное контактное сопротивление приводит к повышению температуры, что ускоряет окисление [17]. Толстый оксидный слой дополнительно увеличивает сопротивление и температуру электрического соединения, что может привести к перегреву.

Сплавы, содержащие титан, широко применяются в качестве легирующей добавки при выплавке коррозионностойких и жаропрочных сталей, для снижения вредного влияния азота, серы, измельчения литого зерна и повышения механических свойств. Использование лигатур алюминия с титаном позволяет понизить остаточное содержание кислорода и неметаллических включений. С другой стороны, алюминий является распространенной легирующей добавкой в производстве титановых сплавов, применяемых в новой технике [18].

Высокотемпературное окисления титана изучалось многими авторами [22]. В работе [23] показано, что титан окисляется со скоростями, подчиняющимися равным уравнениям в зависимости от температуры и времени. Достаточно подробно исследована и окисляемость твердых сплавов титана с алюминием [24]. Установлено положительное влияние алюминия на жаростойкость титана.

Дополнительную информацию об особенностях окисления этих сплавов может дать изучение образующихся окисных пленок. В системе  $Al_2O_3$ — $TiO_2$  отмечается крайне низкая растворимость  $TiO_2$  в  $Al_2O_3$  [18] и существование одного химического соединения  $Al_2TiO_5$  (1850 °C) [18]. При более низких температурах оно подвергается эвтектическому распаду на рутил и  $\alpha$ - $Al_2O_3$ . Так, по данными [18-24], рентгенографический анализ

смесей  $Al_2O_3$  и  $TiO_2$ , нагретых на воздухе до 1700 °C с различным временем выдержки, не показал заметных смещений линий, характерных для обожженного глинозема. Во всех случаях, когда в образцах наблюдалась вторая фаза, она соответствовала соединению  $Al_2TiO_5$ .

В работах [18-24] представлены результаты рентгеноструктурного анализа смесей синтетических сплавов  $Al_2O_3$ — $TiO_2$ , содержащих 0; 0.5; 1.0; 5.0; 10; 50 и 100 мол.%  $TiO_2$ . Из этих данных следует, что добавка до 5 мол. %  $TiO_2$  к корунду вызывает ощутимую деформацию решетки  $Al_2O_3$ , а последующее повышение содержания  $TiO_2$  не влияет на ее параметры. По-видимому, при температурах спекания (1800 °C) в  $\alpha$ - $Al_2O_3$  возможно растворение до 5 мол. %  $TiO_2$ , и подтверждением этому является то, что выделение новой фазы фиксируется в смесях, содержащих более 5.0 мол. %  $TiO_2$ , и особенно отчетливо она проявляется в сплавах эквимольного состава.

Спектр применения щелочных металлов в современном мире чрезвычайно широк. Эти элементы (Li, Na, K, Rb и Cs) широко используются благодаря уникальному сочетанию физических и химических свойств, таких как низкая плотность и вязкость, высокие температуры плавления (от 301.59 K (Cs) до 453.69 K (Li) при стандартном атмосферном давлении), высокие температуры плавления (от 943 K (Cs) до 1615 K (Li) в жидком состоянии), теплопроводность, электропроводность и многие другие свойства [25].

В литературе известно применение щелочных металлов в качестве модификаторов алюминиевокремниевых сплавов [26, 27]. Однако сведения о влиянии калия на физико-химические свойства алюминиевотитановых сплавов отсутствуют.

В настоящее время в литературе отсутствуют данные о влиянии добавки калия на кинетику окисления алюминиевого проводникового сплава AITi0.1. Целью данной работы является исследование влияния добавки калия на кинетику твердофазного окисления алюминиевого проводникового сплава AITi0.1.

#### Материалы и методики исследования

Для исследования влияния добавок калия в диапазоне 0.01 — 0.5 мас.% на кинетику окисления алюминиевого проводникового сплава AITi0.1 в твердом состоянии были получены серии сплавов. Сплавы с калием получали в шахтной печи сопротивления типа СШОЛ в тиглях из оксида алюминия при температуре 723-823 К. Легирование проводили с учетом угара металла. В качестве сплавов для исследования использовали алюминий марки А5 (ГОСТ 110669-01), титан марки ТГ-90 (ГОСТ 19807-91) с алюминиевым сплавом (AI+2.0 мас.% Ti) и металлический калий марки К (ГОСТ 10588-75) в виде лигатуры (AI+10.0 мас. % K).

Кинетику окисления сплавов изучали методом термогравиметрии в изотермических условиях в атмосфере воздуха по методике, описанной в работах [18, 28-34]. Схема установки приведена на рис. 1.

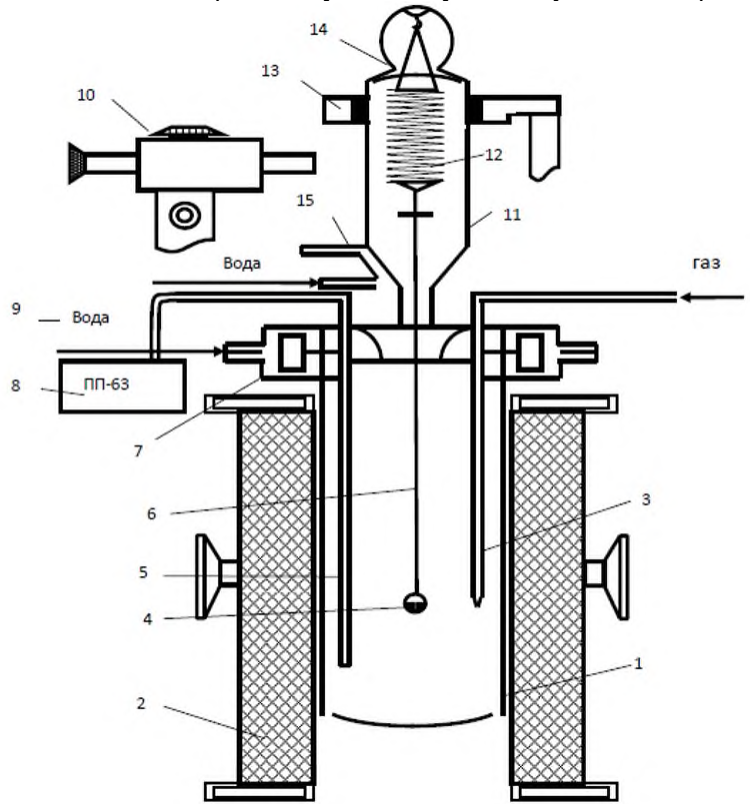


Рисунок 1 — Схема установки для изучения кинетики окисления металлов и сплавов: 1- печь Таммана; 2-чехол из оксида алюминия; 3- газопроводящая трубка; 4- тигель; 5- термопара; 6- платиновая нить; 7-водоохлаждаемая крышка; 8- потенциометр; 9-вода; 10-катетометр; 11-чехол из молибденового стекла; 12-пружина из молибденовой проволоки; 13-подставка; 14-крышка; 15-трон и холодильник

#### Политехнический вестник. Серия: Инженерные исследования. № 3 (71) 2025

#### Экспериментальные результаты и их обсуждение

Результаты исследования окисления алюминиевого проводникового сплава AlTi0.1, легированного калием, представлены на рисунках 2, 3 и в таблицах 1, 2. Кривые окисления сплавов характеризуются увеличением привеса образцов в первые 15-20 минут от начала окисления. Затем процесс стабилизируется, что связано с образованием защитной оксидной пленки на поверхности реагирования (рис. 2).

Таблица 1 – Кинетические характеристики процесса окисления алюминиевого проводникового сплава AlTi0.1 с калием в твердом состоянии

твердом состоянии							
Содержание калия в сплаве, мас.%	Температура окисления, К	Истинная скорость окисления К·10 <sup>4</sup> , кг·м <sup>-2</sup> ·с <sup>-1</sup>	ln K	Наклон линии $\frac{\Delta(\ln K)}{\Delta\left(\frac{1}{T}\right)}, \ \ \mathrm{K}$	Кажущаяся энергия активации, кДж/моль		
0.0	723 773 823	0.697 2.700 11.25	-9.571 -8.217 -6.789	-16856.857	140.00		
0.01	723 773 823	0.883 3.092 12.50	-9.334 -8.081 -6.684	-16059.280	133.51		
0.05	723 773 823	1.075 3.883 14.00	-9.138 -7.853 -6.571	-15559.049	129.35		
0.1	723 773 823	1.234 4.187 14.55	-8.999 -7.778 -6.532	-14950.539	124.30		
0.5	723 773 823	1.471 4.708 15.04	-8.823 -7.661 -6.498	-14086.519	117.11		

К-Истинная скорость окисления;

На рисунке 2 представлены кинетические кривые изменения удельной массы (m/s) образцов сплава в зависимости от времени (t) взаимодействия газовой фазы с кислородом и температуры. По-видимому, образующаяся на начальных стадиях процесса оксидная пленка не обладает достаточными защитными свойствами, о чем свидетельствует увеличение скорости окисления исследуемых сплавов (рис. 2). Скорость окисления алюминиевого проводникового сплава, содержащего 0,5 мас. % калия, при температурах 723, 773 и 823 К составляет 1.471·10-4, 4.708·10-4 и 15.04·10-4 кг·м-2-с-1 соответственно (таблица 1).

Квадратичные кинетические кривые процесса окисления алюминиевого проводникового сплава имеют нелинейный характер, что свидетельствует о непараболическом характере процесса окисления этих сплавов (рис. 3).

Эффективная энергия активации процесса высокотемпературного окисления исследуемых сплавов составляет от 133.51 до 117.11 кДж/моль (таблица 1). В таблице 2 приведены полиномы квадратичных кинетических кривых окисления сплавов, которые описываются общим уравнением  $y=k\cdot x^n$ , где  $n=1\div 4$ . Видно, что квадратичные кривые описываются гиперболическим уравнением.

О-Кажущаяся энергия активации окисления.

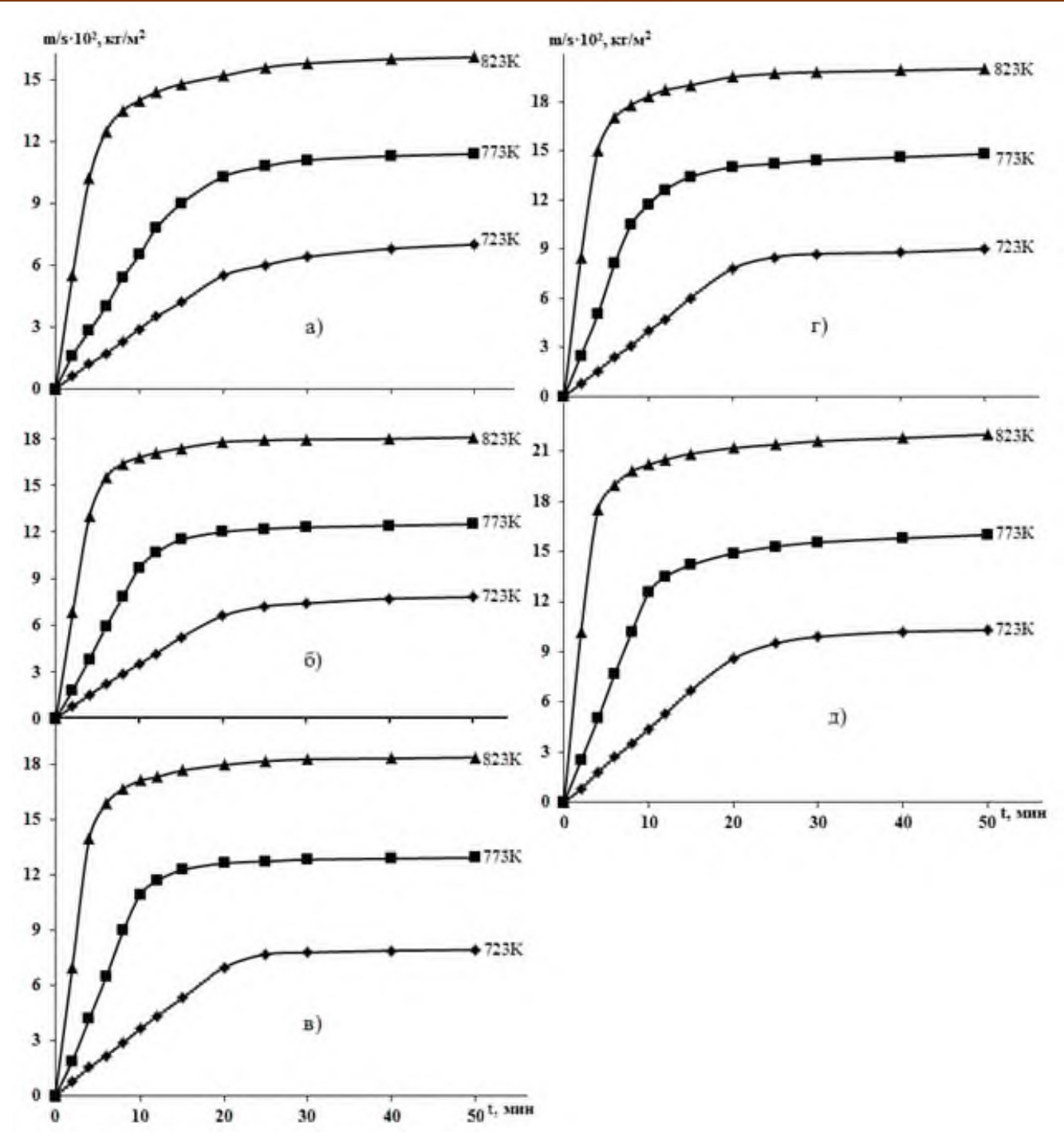


Рисунок 2 — Кинетические кривые окисления алюминиевого проводникового сплава AlTi0.1 (a), содержащего калий, мас. %: 0.01 (b); 0.05 (b); 0.1 (c); 0.5 (d), в твердом состоянии

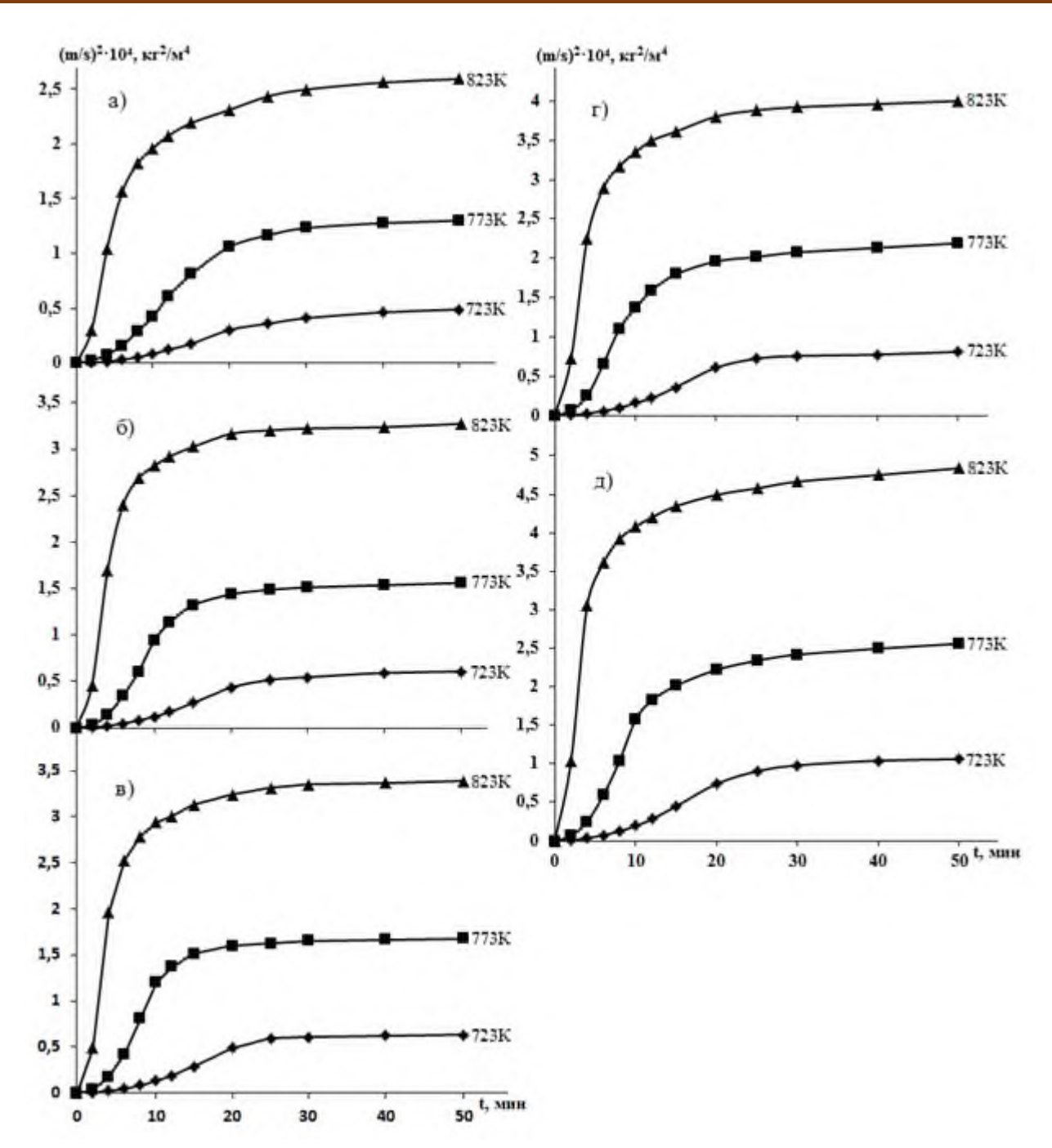


Рисунок 3 - Квадратичные кинетические кривые окисления алюминиевого проводникового сплава AlTi0.1 (a), содержащего калий, мас. %: 0,01 (б); 0,05 (в); 0,1 (г); 0,5 (д), в твердом состоянии

Таблица 2 – Полиномы квадратичных кинетических кривых окисления алюминиевого проводникового сплава AITi0.1 с калием в твердом состоянии

		калием в твердом состоянии	
Содержание калия в сплаве, мас.%	Температура окисления, К	Полиномы квадратичных кинетических кривых окисления сплавов	Коэффициент корреляции (R²)
0.0	723 773 823	$ (\text{m/s})^{2*} = -2 \cdot 10^{-9} t^{6} + 2 \cdot 10^{-7} t^{5} - 1 \cdot 10^{-5} t^{4} + 2 \cdot 10^{-4} t^{3} - 7 \cdot 10^{-4} t^{2} + 3 \cdot 6 \cdot 10^{-3} t^{**} $ $ (\text{m/s})^{2} = -2 \cdot 10^{-9} t^{6} + 2 \cdot 10^{-7} t^{5} - 2 \cdot 10^{-6} t^{4} - 3 \cdot 10^{-4} t^{3} + 8 \cdot 4 \cdot 10^{-3} t^{2} - 1 \cdot 16 \cdot 10^{-2} t $ $ (\text{m/s})^{2} = 2 \cdot 10^{-8} t^{6} - 2 \cdot 10^{-6} t^{5} + 1 \cdot 10^{-4} t^{4} - 1 \cdot 9 \cdot 10^{-3} t^{3} + 5 \cdot 5 \cdot 10^{-3} t^{2} + 0 \cdot 255 t $	0,999 0,999 0,990
0.01	723 773 823	$ (m/s)^2 = -3 \cdot 10^{-9} t^6 + 5 \cdot 10^{-7} t^5 - 2 \cdot 10^{-5} t^4 + 4 \cdot 10^{-4} t^3 - 2.3 \cdot 10^{-3} t^2 + 9.4 \cdot 10^{-3} t $ $ (m/s)^2 = -1 \cdot 10^{-8} t^6 - 2 \cdot 10^{-6} t^5 + 1 \cdot 10^{-4} t^4 - 3.1 \cdot 10^{-3} t^3 + 3.8 \cdot 10^{-2} t^2 - 7.4 \cdot 10^{-2} t $ $ (m/s)^2 = 2 \cdot 10^{-8} t^6 - 2 \cdot 10^{-6} t^5 + 1 \cdot 10^{-4} t^4 - 1.5 \cdot 10^{-3} t^3 - 9.6 \cdot 10^{-3} t^2 + 0.456 t $	0,999 0,998 0,981
0.05	723 773 823	$ (m/s)^2 = -4 \cdot 10^{-9} t^6 + 6 \cdot 10^{-7} t^5 - 3 \cdot 10^{-5} t^4 + 6 \cdot 10^{-4} t^3 - 3.5 \cdot 10^{-3} t^2 + 1.28 \cdot 10^{-2} t $ $ (m/s)^2 = 2 \cdot 10^{-8} t^6 - 3 \cdot 10^{-6} t^5 + 2 \cdot 10^{-4} t^4 - 4.6 \cdot 10^{-3} t^3 + 5.34 \cdot 10^{-2} t^2 - 0.104 t $ $ (m/s)^2 = 1 \cdot 10^{-8} t^6 - 2 \cdot 10^{-6} t^5 + 7 \cdot 10^{-5} t^4 - 6 \cdot 10^{-4} t^3 - 2.32 \cdot 10^{-2} t^2 + 0.536 t $	0,999 0,996 0,971
0.1	723 773 823	$ (\text{m/s})^2 = -5 \cdot 10^{-9} t^6 + 7 \cdot 10^{-7} t^5 - 4 \cdot 10^{-5} t^4 + 7 \cdot 10^{-4} t^3 - 4 \cdot 10^{-3} t^2 + 1.36 \cdot 10^{-2} t $ $ (\text{m/s})^2 = 2 \cdot 10^{-8} t^6 - 3 \cdot 10^{-6} t^5 + 2 \cdot 10^{-4} t^4 - 4.6 \cdot 10^{-3} t^3 + 5.16 \cdot 10^{-2} t^2 - 6.6 \cdot 10^{-2} t $ $ (\text{m/s})^2 = 9 \cdot 10^{-9} t^6 - 8 \cdot 10^{-7} t^5 + 2 \cdot 10^{-5} t^4 + 7 \cdot 10^{-4} t^3 - 4.09 \cdot 10^{-2} t^2 + 0.665 t $	0,998 0,998 0,984
0.5	723 773 823	$ (m/s)^2 = -5 \cdot 10^{-9} t^6 + 7 \cdot 10^{-7} t^5 - 4 \cdot 10^{-5} t^4 + 7 \cdot 10^{-4} t^3 - 3.4 \cdot 10^{-3} t^2 + 1.29 \cdot 10^{-2} t $ $ (m/s)^2 = 2 \cdot 10^{-8} t^6 - 4 \cdot 10^{-6} t^5 + 2 \cdot 10^{-4} t^4 - 5.5 \cdot 10^{-3} t^3 + 6.42 \cdot 10^{-2} t^2 - 0.115 t $ $ (m/s)^2 = -3 \cdot 10^{-10} t^6 + 5 \cdot 10^{-7} t^5 - 6 \cdot 10^{-5} t^4 + 3.2 \cdot 10^{-3} t^3 - 8.01 \cdot 10^{-2} t^2 + 0.95 t $	0,999 0,997 0,982

m/s \*- привес массы сплавов, кг/м<sup>2</sup>;

Взаимодействие алюминиевого проводникового сплава AITi0.1 с различными концентрациями калия в газовой фазе при исследованных температурах существенно отличается от окисления исходного алюминиевого сплава. Линейная зависимость сохраняется в течение 12-15 мин, затем при образовании оксидной пленки характер процесса окисления меняется на гиперболический, а формирование защитной оксидной поверхности завершается через 20 мин.

Кинетические кривые процесса высокотемпературного окисления алюминиевых сплавов характеризуются монотонным ростом истинной скорости окисления и уменьшением эффективной энергии активации с увеличением количества легирующего компонента в исходном сплаве до 0.01 мас.%. Однако добавление 0.1 и 0.5 мас.% калия несколько увеличивает окислительную способность исходного сплава (рис. 4).

Кривые процесса высокотемпературного окисления в координатах –lgK от 1/*T* представляются прямыми линиями (рис. 5), по углу наклона которых рассчитана эффективная энергия активации сплавов. Среди легированных сплавов максимальную скорость окисления, соответствующую энергии активации 117.11 кДж/моль, имеет токопроводящий алюминиевый сплав AlTi0.1 с 0.5 мас. % калия, тогда как для исходного сплава последняя величина составляет 140.00 кДж/моль (таблица 1).

 $t^{**}$ - продолжительность времени окисления, мин.

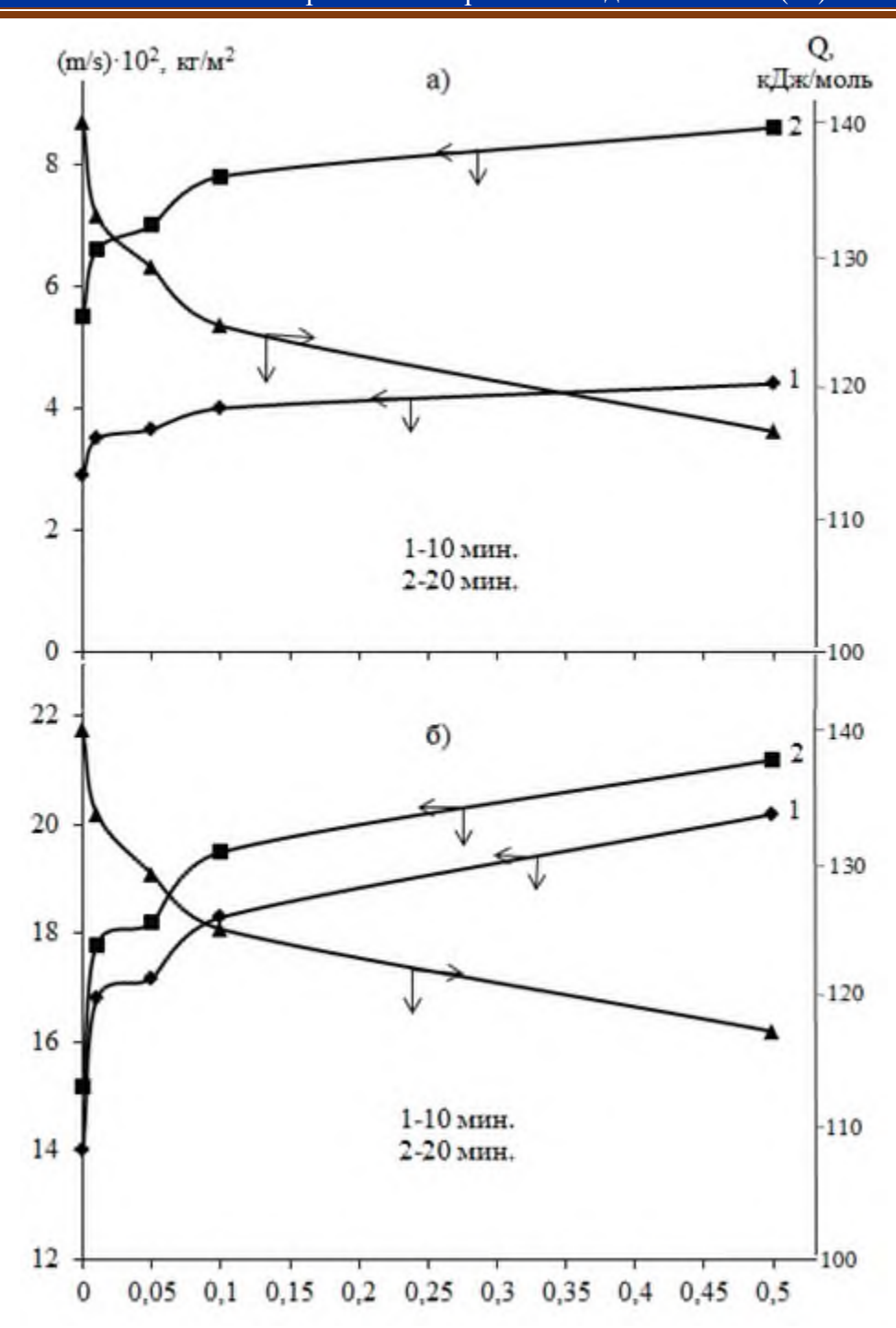


Рисунок 4 – Изохроны окисления алюминиевого проводникового сплава AlTi0.1 с калием при 723(a) К и 823 К (б)

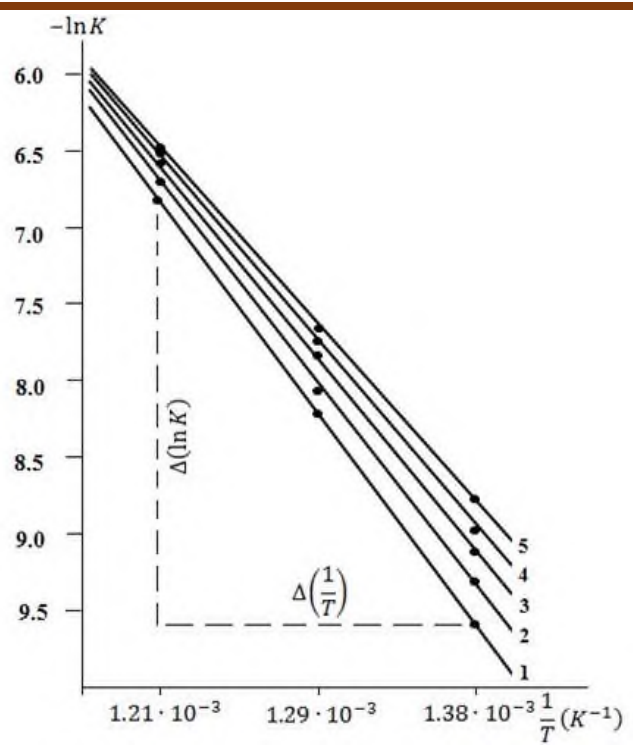


Рисунок 5 — Зависимости —  $ln\ K$  от 1/T для алюминиевого проводникового сплава  $AlTi0.1\ (1)$ , содержащего калий, мас. %: 0.01(2); 0.05(3);  $0.1\ (4)$  и  $0.5\ (5)$ 

Изучая продукты окисления сплавов, в частности оксидную пленку, образующуюся на поверхности образцов при нагревании, можно получить важную информацию о механизме их окисления. Оксидная пленка является продуктом взаимодействия металла с кислородом воздуха и снижает его химическую активность на поверхности сплава.

<sup>¹</sup> Методом рентгенофазового анализа изучены продукты окисления, образующиеся при окислении алюминиевого сплава с добавкой калия. По результатам рентгенофазового анализа продуктов окисления алюминиевого проводникового сплава AlTi0.1 установлено, что при окислении образуются оксиды следующих составов: Al₂O₃, Ti₃O₅, TiO₂, Al₂₁.86K₂.59O₃₄ (рис. 6).

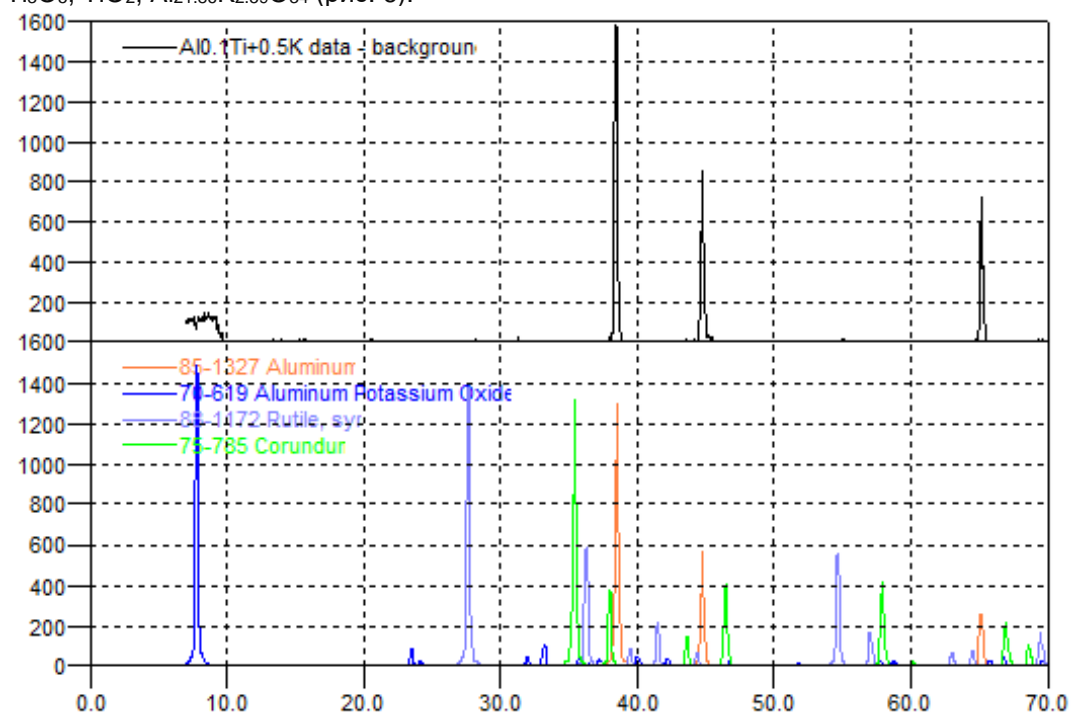


Рисунок 6 – Дифрактограммы продуктов окисления алюминиевого проводникового сплава AlTi0.1 с калием

#### Политехнический вестник. Серия: Инженерные исследования. № 3 (71) 2025

#### Заключение

На основании экспериментальных исследований кинетики окисления алюминиевых проводниковых сплавов с калием в твердом состоянии газофазным кислородом установлено, что сплавы с 0.1 и 0.5 мас. % калия, при этом сплавы с низким содержанием (0.01-0.1 мас. %), имеют наибольшее значение фактической скорости окисления и наименьшее значение эффективной энергии активации. Установлено, что легирующий компонент незначительно повышает окислительную способность алюминиевых сплавов в диапазоне 0.01-0.5 мас. % калия.

Рецензент: Бердиев А.Э. — д.т.н., профессор қафедры химии и биологии Российсқо-Шаджиқсқого (Славянсқого) университета

#### Литература

- 1. ГОСТ Р МЭК 62004-2014. Проволока из термостойкого алюминиевого сплава для провода воздушной линии электропередачи. М.: Стандартинформ, 2015.
- 2. Polmear I.J. Light Alloys From Traditional Alloys to Nanocrystalls. Fourth Edition. Australia, Melbourne: Monash University. 2006.
- 3. Moors E.H.M. Technology strategies for sustainable metals production systems: a case study of primary aluminium production in The Netherlands and Norway // Journal of Cleaner Production. 2006. Vol. 14. P. 1121-1138.
- 4. Totten G.E., MacKenzie D.S. Handbook of Aluminum. Alloy Production and Materials Manufacturing; Marcel Dekker: New York, NY, USA, Vol. 2. 2003.
  - 5. Polmear I.J., Light Alloys—Metallurgy of the Light Metals; Arnold: London, UK. 1995.
- 6. Abdo H.S., Khalil K.A., El-Rayes M.M., Marzouk W.W., Hashem A.M., Abdel-Jaber G.T. Ceramic nanofibers versus carbon nanofibers as a reinforcement for magnesium metal matrix to improve the mechanical properties. J. King Saud Univ. Eng. Sci. 2020. Vol. 32. P. 346–350.
  - 7. Holman J.P., Heat Transfer. McGraw-Hill Book Company: Singapore. 1990. P. 1–20.
- 8. Meshchanov G.I., Peshkov I.B. Innovative approaches in domestic cable engineering. Russ. Electr. Eng. 2010. Vol. 81. P. 1–8.
- 9. Vorontsova L.A., Maslov V.V., Peshkov I.B. Aluminum and Aluminum Alloys in Electrical Products; Energiya: Moscow. Russia. 1971.
- 10. Lanker V. Metallurgy of Aluminum Alloys; William Clones and Sons Ltd., Chapman and Hall: London, UK. 1967. P. 236–248.
  - 11. Hagemaier D.J. Evaluation of heat damage to aluminium aircraft structures. Mater. Eval. 1982. Vol. 40. P. 942–969.
- 12. Valiev R.Z., Murashkin M.Y., Ganeev A.V., Enikeev N.A. Superstrength of nanostructured metals and alloys produced by severe plastic deformation. Phys. Met. Metallogr. 2012. Vol. 113. P. 1193–1201.
- 13. Bakavos D., Prangnell P.B., Bes B., Eberl F. The effect of silver on microstructural evolution in two 2xxx series Alalloys with a high Cu:Mg ratio during ageing to a T8 temper. Mater. Sci. Eng. 2008. Vol. 491. P. 214–223.
- 14. Fouly A., Almotairy S.M., Aijaz M.O., Alharbi H.F., Abdo H.S. Balanced Mechanical and Tribological Performance of HighFrequency-Sintered Al-SiC Achieved via Innovative Milling Route—Experimental and Theoretical Study. Crystals. 2021. Vol. 11. 700 p.
- 15. Eddahbi M., Jiménez J.A., Ruano O.A. Microstructure and creep behaviour of an Osprey processed and extruded Al–Cu–Mg–Ti–Ag alloy. J. Alloys Compd. 2007. Vol. 433. P. 97–107.
- 16. Nguyen L., Hashimoto T., Zakharov D., Stach E., Rooney A., Burnett T. Atomic-scale insights into the oxidation of aluminum. ACS Appl Mater Interfaces 2018. Vol. 10(3). P. 2230–2235.
- 17. Smeltzer W. Oxidation of aluminum in the temperature range 400°-600°C. J Electrochem Soc. 1956. Vol. 103(4). P. 204-214.
  - 18. Лепинских Б.М., Киташев А.А., Белоусов А.А. Окисления жидких металлов и сплавов. М.: Наука, 1979. 116 с.
  - 19. Ozkan O., Moulson A. -J. Phys. D: Appl. Phys. 1970. v. 3, p. 983.
  - 20. Schmalzried H. -Z. Phys. Chem. (BRD), 1963. v. 38, p. 87.
  - 21. Fischer K., Ackerman W. -J. Appl. Phys., 1968. v. 39, p. 273.
  - 22. Анитов И., Горбунов С. ЖПХ, 1961. Т.34. №4. С. 725-734.
  - 23. Kofstad P., Hauffe K., Kjollesdal H. Acta chem. Scand., 1958. V.12. P. 239-269.
  - 24. Попова В., Корнилова З., Лазарев Э. Защита металлов. 1974. Т.10. №3. С. 345-348.
- 25. Ажажа В.М., Гнедая И.Л. Щелочные металлы получение, свойства, применение. Текст: непосредственный // Вопросы атомной науки и техники. 2006. № 1. С. 184-194.
- 26. Ганиев И.Н., Пархутик П.А., Вахобов А.В., Купрянова И.Ю. Модифицирование силуминов стронцием. Минск: Наука и техника. 1985. 152 с.
- 27. Ганиев И.Н., Каргаполова Т.Б., Махмадуллоев Х.А., Хакдодов М.М. Барий новый модификатор силуминов // Литейное производство. 2001. №10. С. 6-9.

28. Войтович Р.Ф., Головео Э.И. Высокотемпературное окисление металлов и сплавов. Киев: Наукова думка, 1980. 292 с.

- 29. Кубашевский О., Гопкинс Б. Окисление металлов и сплавов. М.: Металлургия, 1968. 428 с.
- 30. Лепинских В.М., Киселев В.И. Об окислении жидких металлов и сплавов из газовой фазы // Известия АН СССР. Металлы. 1974. № 5. С. 51-54.
- 31. Ганиев И.Н., Зокиров Ф.Ш., Файзуллоев Р.Дж., Махмадизода М.М. Влияние стронция на кинетику окисления алюминиевого проводникового сплава AlTi0.1, в твердом состоянии // Журнал Перспективные материалы. №5. 2024. С. 37-47.
- 32. Зокиров Ф.Ш., Ганиев И.Н., Сангов М.М., Бердиев А.Э., Кинетика окисления алюминиевого сплава АК12М2, модифицированного барием, в твердом состоянии // Известия Санкт-Петербургского государственного технологического института (технического университета). 2020. № 55 (81). С. 28-33.
- 33. Ганиев И.Н., Файзуллоев Р.Дж., Зокиров Ф.Ш., Махмадизода М.М. Кинетика окисления алюминиевого проводникового сплава AlTi0.1 с кальцием в твердом состоянии // Журнал физической химии. 2024. Т.97. №1. С. 81-89.
- 34. Зокиров Ф.Ш., Ганиев И.Н., Ганиева Н.И., Сангов М.М. Влияние кальция на кинетику окисления сплава АК12М2 в твердом состоянии// Вестник Таджикского национального университета. 2018. № 4. С. 130-138.

## МАЪЛУМОТ ОИД БА МУАЛЛИФОН-СВЕДЕНИЯ ОБ ABTOPAX- INFORMATION ABOUT AUTHORS

EN								
Zokirov Furkatshoh Shakhrierovich								
date of Technical Sciences,								
Assosiate Professor								
Technical University named								
after acad. M.S. Osimi								
E-mail: Zokirov090514@mail.ru								
EN								
Ganiev Izatullo Navruzovich								
demician of the National								
Academy of Sciences of Tajikistan,								
or of Chemical Sciences,								
Professor of Department of								
"Technology of chemical								
production"								
Technical University named								
after acad. M.S. Osimi								
E-mail: ganievizatullo48@gmail.com.								
EN								
khmatulloeva Gulnoza								
Mukhrievna								
Senior researcher								
Center for Research of Innovative								
nnologies of the National								
ny of Sciences of Tajikistan								
my of Sciences of Tajikistan								
E-mail: Golnoz.86@mail.ru								
EN								
adizoda Murodali Mahmadi								
or of Technical Sciences,								
or of Technical Sciences, Associate Professor								
or of Technical Sciences, Associate Professor Technical University named								
or of Technical Sciences, Associate Professor								